



دانشکده علوم

پایان نامه کارشناسی ارشد در رشته زیست شناسی گرایش سلولی و مولکولی

اثر جهش‌های T468M و Y279C مرتبط با سندروم لئوپارد بر ساختار SHP-2

به کوشش:

زهرا کیانی

استاد راهنما:

دکتر نوید مقرب

۱۳۹۰ بهمن

بِسْمِ اللَّهِ الرَّحْمَنِ الرَّحِيمِ

به نام خدا

اظهارنامه

اینجانب. زهرا کیانی . دانشجوی رشته... زیست شناسی.. گرایش.. علوم سلولی و مولکولی..
دانشکدهی.. علوم.. اظهارمی کنم که این پایان نامه حاصل پژوهش خودم بوده و در
جاهايی که از منابع دیگران استفاده کرده ام، نشانی دقیق و مشخصات کامل آن را
نوشته ام. همچنانی اظهارمی کنم که تحقیق و موضوع پایان نامه ام تکراری نیست و
تعهد می نمایم که بدون مجوز دانشگاه دستاوردهای آن را منتشر ننموده و یا در اختیار
غیر قرار ندهم. کلیه حقوق این اثر مطابق با آیین نامه مالکیت فکری و معنوی متعلق به
دانشگاه شیراز است.

نام و نام خانوادگی: زهرا کیانی

تاریخ و امضا:

۱۳۹۰/۱۱/۱۲



به نام خدا

عنوان:

اثر جهش‌های C279Y و M468T با سندروم لئوپارد بر ساختار SHP-2

بوسیله:

زهرا کیانی

پایان نامه

ارائه شده به تحصیلات تکمیلی دانشگاه شیراز به عنوان
بخشی از فعالیت‌های تحصیلی لازم برای اخذ درجه کارشناسی ارشد
در رشته‌ی زیست‌شناسی سلوی-مولکولی
از دانشگاه شیراز
شیراز
جمهوری اسلامی ایران

ارزیابی شده توسط کمیته‌ی پایان نامه، با درجهٔ عالی
دکتر نوید مقرب، استادیار بخش زیست‌شناسی (رئیس کمیته)
دکتر مهریار امینی نسب، استادیار بخش زیست‌شناسی
دکتر ایرج سعادت، استادیار بخش زیست‌شناسی
دکتر مصطفی سعادت، استاد بخش زیست‌شناسی

مُؤْمِن
لَعْدِي

ب

ہمسہ حوانندگان

ایں پایاں نامہ

سپاسگزاری

اکنون که این رساله به پایان رسیده است بر خود فرض می‌دانم که از استاد ارجمند جناب آقای دکتر نوید مقرب بخاطر راهنمایی‌های گرانبهای شان و استادی گرانقدر دکتر مصطفی سعادت، دکتر ایرج سعادت و دکتر مهریار امینی نسب بخاطر راهنمایی‌های شان مرائب سپاس را بجای آورم و از دوستان عزیزم در آزمایشگاه بیوفیزیک بخاطر همیاری شان قدردانی می‌کنم و از ایزد یکتا بهروزی و پیروزی شان را خواهانم.

چکیده

اثر جهش های T468M و Y279C مرتبط با سندرم لئوپارد بر ساختار SHP-2

به کوشش:

زهرا کیانی

سندرم لئوپارد یک ناهنجاری غالب آتوزوم است که دارای نشان ویژگی هایی شامل، لکه های پوستی، الکتروکاردیوگرام غیر طبیعی، فاصله زیاد بین چشمها، تنگی مجاری تنفسی، دستگاه تناسلی غیر طبیعی، عقب ماندگی در رشد و ناشنوایی می باشد. سندرم لئوپارد به وسیله جهش تغییر دهنده معنا در ژن *PTPN11*، که پروتئین تیروزین فسفاتاز SHP-2 را کد می کند ایجاد می گردد. پروتئین SHP-2 مرکب از یک دومین کاتالیتیک (PTP) و دو دومین تنظیمی (N-SH2 و C-SH2) است. دومین های SH2 در اتصال به اجزا پیام رسانی سلول و کنترل فعالیت آنزیم از طریق محدود کردن دسترنس پذیری جایگاه کاتالیتیک نقش دارند. پروتئین نوع وحشی 2 SHP-2 و دو ساختار جهش یافته مرتبط با سندرم لئوپارد (Y279C و T468M)، که روی باقی مانده های دومین PTP اثر می گذارند، با روش شبیه سازی مولکولی مورد آنالیز قرار گرفتند. شبیه سازی ها نشان می دهد که هر دو جهش باعث کاهش فاصله مراکز جرم لوپ های (bac₉₂₋₈₉) BG و (bac₆₈₋₆₆) EF و تغییر در ساختار جایگاه کاتالیتیک شده اند.

کلید واژه: شبیه سازی دینامیک مولکولی، SHP-2 سندرم لئوپارد

فهرست مطالب

صفحه	عنوان و شماره
	فصل اول
۱	۱- مقدمه.
۱	۱-۱- معرفی پروتئین فسفاتازها
۲	۱-۲- معرفی پروتئین SHP-2
۳	۲-۱- مکانیسم کاتالیتیکی SHP-2
۴	۲-۲- SHP-2 در سیتوپلاسم
۵	۲-۳- SHP-2 در هسته و میتوکندری
۶	۳-۱- ساختار کریستالی SHP-2
۶	۳-۲- سازماندهی دومین‌ها و ساختار
۱۰	۳-۳- C-SH2 و N-SH2
۱۰	۴- مکانیسم مهار
۱۳	۵- دومین N-SH2 یک سوییچ مولکولی است
۱۳	۶- مدلی برای تنظیم SHP-2
۱۵	۷-۱- انتهای C SHP-2 در فعال‌سازی و عملکرد زیستی آنزیم چه نقشی دارد؟
۱۷	۸-۱- بیماری‌های انسانی مرتبط با SHP-2
۱۷	۸-۲- بیماری‌های مرتبط با جهش‌های فعال کننده
۱۸	۸-۳- بیماری‌های مرتبط با جهش‌های غیر فعال کننده SHP-2
۱۹	۸-۴- دیگر بیماری‌ها

۱۹	۱-۹- مکانیسم‌های احتمالی مرتبط با بیماری زایی SHP-2
۲۰	۱-۱۰- شبیه سازی دینامیک مولکولی

فصل دوم

۲۳	۲- مروری بر مطالعات پیشین
----	---------------------------

فصل سوم

۲۶	۳- مواد و روش‌ها
----	------------------

۲۶	۳-۱- مدل سازی ساختار
----	----------------------

۲۷	۳-۲- شبیه سازی دینامیک مولکولی
----	--------------------------------

فصل چهارم

۳۱	۴- نتایج
----	----------

۳۱	۴-۱- کلیات
----	------------

۳۴	۴-۲- مدل سازی و دینامیک ساختارها
----	----------------------------------

۳۹	۴-۲-۱- انرژی گرومکس
----	---------------------

۴۱	۴-۳- شعاع ژیراسیون
----	--------------------

۴۳	۴-۴- ساختار دوم پروتئین
----	-------------------------

۴۵	۴-۵- فاصله لوب EF از لوب BG
----	-----------------------------

۴۸	۴-۶- فاصله لوب بلوكه کننده از جایگاه کاتالیتیک
----	--

۵۱	۴-۷- جایگاه کاتالیتیک
----	-----------------------

۵۵	۴-۸- سطح در دسترس حلal
----	------------------------

۵۹	۴-۹- پیوندهای هیدروژنی
----	------------------------

فصل پنجم

۶۸	۵- نتیجه‌گیری و بحث
----	---------------------

۶۹	۵-۱- مدل Y279C
----	----------------

۷۰	۵-۲- مدل T468M
----	----------------

۷۱	فهرست منابع
----	-------------

فهرست جداول

عنوان و شماره	صفحه
جدول ۴-۱. مشخصات جعبه شبیه سازی در مدل های مختلف.	۳۲
جدول ۴-۲. مقادیر دما، فشار و چگالی در مدل های مختلف	۳۴
جدول ۴-۳. مقادیر متوسط RMSD کربن آلفا (\AA) کل پروتئین طی ۱۰ نانو ثانیه پایانی شبیه سازی	۳۷
جدول ۴-۴. انرژی های میانگین مدل طبیعی و جهش یافته بر حسب مگا ژول بر مول که در ۱۰ نانو ثانیه پایانی شبیه سازی میانگین گرفته شده است	۳۹
جدول ۴-۵. شعاع ژیراسیون مدل ها بر حسب آنگستروم در طول زمان شبیه سازی میانگین گرفته شده است	۴۲
جدول ۴-۶. شعاع ژیراسیون دومین های PTP, C-SH2, N-SH2 و کل پروتئین بر حسب آنگستروم که طی در ۱۰ نانو ثانیه پایانی شبیه سازی میانگین گرفته شده است	۴۲
جدول ۴-۷. مقایسه متوسط فاصله کربن آلفا گلیسین ۶۷ از آسپاراژین ۹۲ در فرم T468M و فرم Y279C نسبت به فرم طبیعی که در طی ۱۰ نانو ثانیه پایانی شبیه سازی میانگین گرفته شده است	۴۵
جدول ۴-۸. فاصله مرکز جرم آسپارتات ۶۱ از مرکز جرم سیستئین ۴۵۹ در طی ۱۰ نانو ثانیه پایانی شبیه سازی میانگین گرفته شده است	۵۰

جدول ۹-۴. جذر میانگین مجذور انحرافات جایگاه کاتالیتیک بر مبنای ساختار تعادلی که در ۱۰ نانو ثانیه پایانی شبیه سازی میانگین گرفته شده است.....	۵۳
جدول ۱۰-۴. فاصله کرین آلفا برخی از باقی مانده های جایگاه کاتالیتیک در طی ۱۰ نانو ثانیه پایانی	
شبیه سازی میانگین گرفته شده است.....	۵۴
جدول ۱۱-۴. وسعت میانگین سطوح در معرض حلال آب گریز، آب دوست و کل پروتئین بر حسب	
نанو مترمربع در ۱۰ نانو ثانیه پایانی شبیه سازی میانگین گرفته شده است.....	۵۵
جدول ۱۲-۴. وسعت میانگین سطوح در معرض حلال آب گریز، آب دوست و کل دومین ها بر حسب	
نانو مترمربع در ۱۰ نانو ثانیه پایانی شبیه سازی میانگین گرفته شده است.....	۵۶
جدول ۱۳-۴. وسعت میانگین سطوح آب گریز، آب دوست و کل جایگاه کاتالیتیک که در ۱۰ نانو	
ثانیه پایانی شبیه سازی میانگین گرفته شده است.....	۵۷
جدول ۱۴-۴. وسعت میانگین سطوح در معرض حلال آب گریز، آب دوست و کل لوپ EF بر حسب	
آنگستروم مربع در ۱۰ نانو ثانیه پایانی شبیه سازی میانگین گرفته شده است.....	۵۸
جدول ۱۵-۴. وسعت میانگین سطوح در معرض حلال آب گریز، آب دوست و کل لوپ BG بر حسب	
آنگستروم مربع در ۱۰ نانو ثانیه پایانی شبیه سازی میانگین گرفته شده است.....	۵۸
جدول ۱۶-۴. وسعت میانگین سطوح در معرض حلال آب گریز، آب دوست و کل لوپ بلوکه کننده بر	
حسب آنگستروم مربع در ۱۰ نانو ثانیه پایانی شبیه سازی میانگین گرفته شده است.....	۵۹
جدول ۱۷-۴. میانگین تعداد پیوندهای هیدروژنی و درصد تصرف پیوند هیدروژنی به ازای هر یک از	
فریم ها در طی ۱۰ نانو ثانیه پایانی شبیه سازی محاسبه شده توسط نرم افزار V.M.D ۱.۸.۷.....	۶۰
جدول ۱۸-۴. جدول شاخص باقیمانده های دهنده و گیرنده پیوند هیدروژنی بین دومین N-SH2 و	
دومین PTP در طی ۱۰ نانو ثانیه پایانی شبیه سازی.....	۶۴

فهرست اشکال

عنوان و شماره	صفحة
شكل ۱-۱. تبدیل حالت غیرفعال به فعال پروتئین SHP-2	۳
شكل ۲-۱. فرآیند دو مرحله‌ای واکنش پروتئین تیروزین فسفاتازها	۳
شكل ۳-۱. مکانیسم کاتالیتیک پروتئین تیروزین فسفاتازها	۴
شكل ۴-۱. ساختار SHP-2 در حالت خود مهار شده	۸
شكل ۵-۱. صف بندی توالی اسید آمینه SHP-2 انسانی علیه SHP1 و دومین‌های PTP از انسانی PTP α و PTP1B	۹
شكل ۶-۱. جایگاه فعال SHP-2	۱۱
شكل ۷-۱. مهار PTP در مقایسه با شناسایی سوبسترا	۱۲
شكل ۸-۱. وجوده بین دومین‌های N-SH2 و PTP که به صورت "كتاب باز" نشان داده شده است	۱۲
شكل ۹-۱. تغییر کنفورماسیونی در دومین N-SH2 پروتئین SHP-2 را تنظیم می‌کند	۱۶
شكل ۱۰-۱. ساختار SHP-2 به همراه مناطق تعیین نشده در ساختار کریستالی که با خط چین‌های سبز رنگ نمایش داده شده‌اند	۲۷
شكل ۱۰-۲. پروتئین در مرکز یک جعبه مکعبی قرار داده شده‌است	۲۸
شكل ۱۱-۱. ساختار کلی پروتئین SHP-2 در حالت غیرفعال و به ترتیب دومین‌های N-SH2 (صورتی)، C-SH2 (آبی) و PTP (سبز)	۳۲
شكل ۱۱-۲. انرژی پتانسیل مدل‌های جهش یافته و طبیعی پس از کمینه سازی انرژی	۳۳
شكل ۱۱-۳. نمایش سه بعدی ساختار میانگین مدل طبیعی و مدل‌های جهش یافته	۳۵

- شکل ۴-۴. جذر میانگین مجذور انحرافات RMSD کل اتمها بر حسب آنگستروم در طول زمان شبیه‌سازی ۳۶
- شکل ۵-۴. RMSF کل اتمها به ازای هر باقیمانده‌ی آمینواسیدی که در ۱۰ نانو ثانیه پایانی شبیه‌سازی میانگین گرفته شده است ۳۷
- شکل ۶-۴. نمودار انرژی‌های پتانسیل، کینتیک و کل در مدل‌های شبیه‌سازی شده در طول زمان شبیه سازی ۴۰
- شکل ۷-۴. شعاع زیراپسیون بر حسب آنگستروم در طول زمان شبیه‌سازی ۴۱
- شکل ۸-۴. ساختار دوم میانگین مدل طبیعی و مدل T468M در ۱۰ نانو ثانیه پایانی ۴۳
- شکل ۹-۴. ساختار دوم میانگین مدل طبیعی و مدل Y279C در ۱۰ نانو ثانیه پایانی ۴۴
- شکل ۱۰-۴. مقایسه وضعیت ساختار اسکلتی لوب‌های BG و EF در فرم T468M (صورتی) و Y279C (آبی) نسبت به فرم طبیعی (سبز) ۴۶
- شکل ۱۱-۴. مقایسه وضعیت لوب‌های (BG) (66-68) و (EF) (89-92) در فرم‌های جهش یافته Y279C و T468M نسبت به فرم طبیعی و فرم دارای لیگاند ۴۷
- شکل ۱۲-۴. دومین N-SH2 (صورتی) و دومین PTP (سبز) و لوب بلوكه کننده (زرد) نشان داده شده است ۴۸
- شکل ۱۳-۴. لوب بلوكه کننده در فرم‌های طبیعی، T468M و Y279C به ترتیب سبز، آبی و صورتی و جایگاه کاتالیتیک نیز در فرم‌های ذکر شده قرمز، صورتی و سبز هستند که به ترتیب در شکل الف، ب و ج نشان داده شده است ۴۹
- شکل ۱۴-۴. نمودار مجذور میانگین انحرافات کل اتم‌های لوب بلوكه کننده در طی ۱۰ نانو ثانیه پایانی شبیه سازی ۵۰
- شکل ۱۵-۴. RMSF کل اتم‌های لوب بلوكه کننده به ازای هر باقیمانده که در ۱۰ نانو ثانیه پایانی شبیه‌سازی میانگین گرفته شده است ۵۰
- شکل ۱۶-۴. مقایسه جایگاه کاتالیتیک، باقیمانده‌های (۴۵۸-۴۶۶) و باقیمانده‌های طرفین (۴۶۸) قرمز ۴۵۷ نارنجی و سیستانی ۴۵۹ (زرد) به ترتیب در (الف) فرم طبیعی، (ب) فرم T468M و (ج) فرم Y279C در ساختار میانگین ۱۰ نانو ثانیه پایانی شبیه سازی ۵۲

شکل ۴-۱۷. نمودار RMSF جایگاه کاتالیتیک، باقیمانده‌های (۴۵۸-۴۶۶) که در ۱۰ نانو ثانیه پایانی شبیه سازی میانگین گرفته شده است.....۵۳

شکل ۴-۱۸. نقشه حضور پیوند هیدروژنی بین ناحیه میانکنشی دومین N-SH2 و دومین PTP در طی ۱۰ نانو ثانیه پایانی شبیه سازی در فرم طبیعی (الف)، فرم T468M (ب) و فرم Y279C (ج).....۶۳

شکل ۴-۱۹. نقشه حضور پیوند هیدروژنی در طی ۱۰ نانو ثانیه پایانی شبیه سازی در فرم طبیعی (الف)، فرم T468M (ب) و فرم Y279C (ج).....۶۵

فصل اول

۱- مقدمه

۱-۱- معرفی پروتئین فسفاتازها

استر فسفات یک پیوند شیمیایی بسیار مهم در سلول زنده است، این پیوند به عنوان یک منبع انرژی، عامل اتصال مولکول‌های مهم زیستی مثل RNA و DNA و همچنین به عنوان مکانیسمی مؤثر در جهت تنظیم فعالیت آنزیم‌ها و پروتئین‌ها از طریق تغییر زنجیره‌های آمینواسیدی می‌باشد. فسفریلاسیون پروتئین‌ها یک فرآیند تنظیم شده است که به واسطه‌ی آن انتقال اطلاعات از سطح سلول به درون هسته صورت می‌گیرد دو کلاس از آنزیم‌ها که پیام رسانی را از طریق فسفریلاسیون و د-فسفریلاسیون پروتئین‌ها تنظیم می‌کنند پروتئین کینازها و پروتئین فسفاتازها هستند. (Johnson *et al.* 1996)

پروتئین کینازهای یوکاریوتی براساس سوبستراتی اختصاصی شان به دو دسته اصلی تقسیم

می‌شوند:

۱. سرین/ترئونین کیناز^۱

۲. تیروزین کیناز^۲

بطور مشابه پروتئین فسفاتازهای یوکاریوتی براساس سوبستراتی اختصاصی شان به سه دسته

طبقه‌بندی می‌شوند:

۱. سرین/ترئونین فسفاتازها^۳

۲. تیروزین فسفاتازها^۴

۳. فسفاتازهای اختصاصی دوگانه^۵

دسته‌ی سوم از فسفاتازها گاهی به همراه دسته‌ی دوم در یک گروه قرار می‌گیرند.

فسفاتازهای اختصاصی دوگانه قادر به د-فسفریله کردن باقی‌مانده‌های آمینواسیدی سرین،

ترئونین و تیروزین می‌باشند (Forrest *et al.* 2003).

1- Serine/Threonine Kinases

2- Tyrosine kinases

3- Serine/Threonine Phosphatases

4- Tyrosine Phosphatases

5- Dual specificity phosphatases (DSPs)

SHP-2- معرفی پروتئین

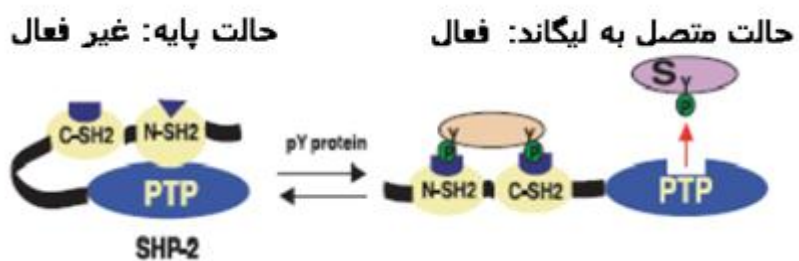
پروتئین SHP-2¹ یک فسفاتاز، متعلق به دسته تیروزین فسفاتازها و کلاس یک از تیروزین فسفاتاز غیر گیرندهای می‌باشد. این پروتئین به لحاظ عملکردی مشابه سایر پروتئین تیروزین فسفاتازهای هم کلاس خود وابسته به اسید آمینه سیستئین است و بطور اختصاصی بر روی فسفوتیروزین عمل می‌کند. SHP-2² بطور جداگانه توسط گروههای مختلفی به عنوان یک پروتئین سیتوزولی و فسفاتاز دارای دومین SH2 شناسایی و این اسامی بر روی آن گذاشته شد، PTP1D, SHPTP2, Syp

(Feng *et al.* 1993; Freeman *et al.* 1992) PTP1D2, PTP2C, SH-PTP3

این پروتئین به وسیله ژن *PTPN11*³ که بر روی کروموزوم ۱۲q۲۴.۱ واقع شده است، کد می‌شود (Alonso *et al.* 2004) و شامل سه ایزوفرم است، ایزوفرم ۱: ۵۹۷-۱، ایزوفرم ۲: ۱-۵۹۳، ایزوفرم ۳: ۱-۴۶۰. N-SH2 که به ترتیب (۱۰۳-۱)، (۲۱۶-۱۱۲) نامیده می‌شوند و یک دومین PTP (۵۲۵-۲۲۱) است که در پی آن یک ناحیه غنی از پرولین و دم که بعنوان دنباله انتهایی C است، قرار دارد. مکانیسم تنظیمی SHP-2 به واسطه احیا اسید آمینه سیستئین جایگاه کاتالیتیک و میانکنش بین دومین‌های N-SH2 و PTP ایجاد می‌گردد. که باعث ایجاد کنفورماسیون بسته و نهایتاً حالت مهار شده پروتئین می‌شود (Hof *et al.* 1998). شواهد نشان می‌دهد که این فسفاتاز نقش مهمی را در مسیرهای مختلف پیام رسانی در جهت تنظیم فرآیندهای سلولی مانند رشد، تمایز، تحرک، زنده ماندن سلول و غیره بازی می‌کند. از دیگر ویژگی‌های این پروتئین حضور در نقاط مختلف سلول شامل سیتوپلاسم، هسته و میتوکندری می‌باشد. در صورت بر همکنش آنزیم با فسفوتیروزین پروتئین به حالت فعال و کنفورماسیون باز پیش می‌رود (شکل ۱-۱) و در این حالت جایگاه فعال آنزیم در معرض قرار می‌گیرد و واکنش کاتالیتیکی شروع می‌گردد.

1- Src homology 2 (SH2)-containing protein-tyrosine phosphatase (SHP-2)

2- Protein tyrosine phosphatase, non-receptor type 11



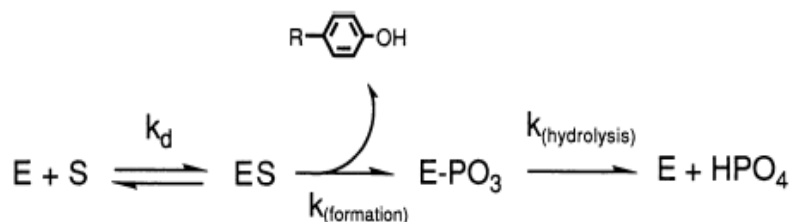
شکل ۱-۱- تبدیل حالت غیرفعال به فعال پروتئین ۲-SHP.

۱-۲-۱- مکانیسم کاتالیتیکی SHP-2

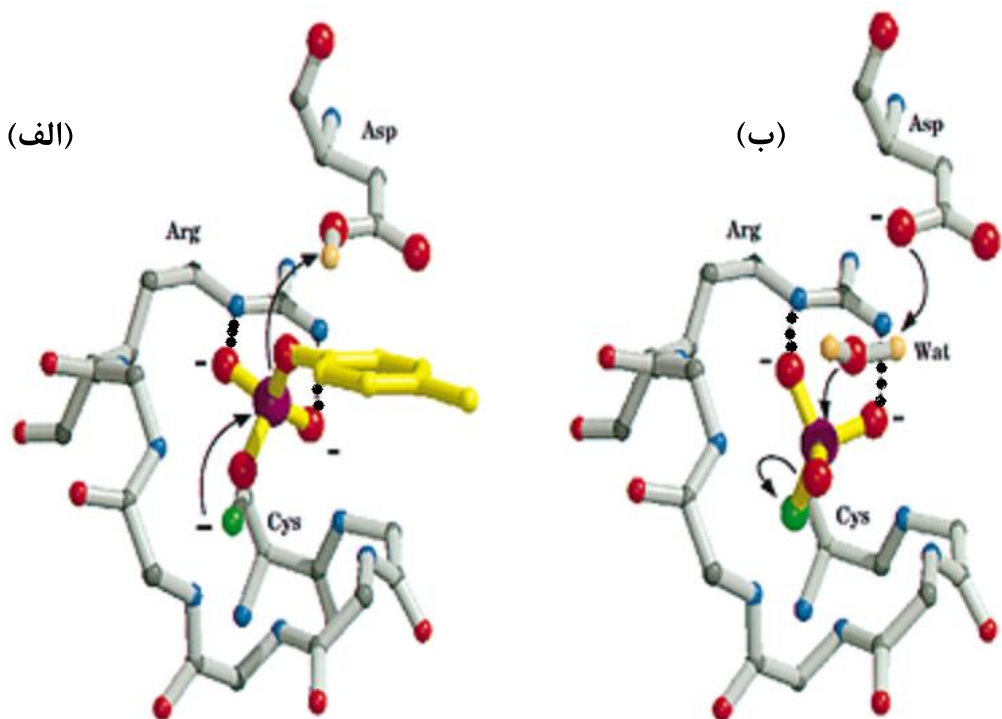
واکنش د-فسفریلاسیون در پروتئین تیروزین فسفاتازها یک فرآیند دو مرحله‌ای می‌باشد، که قبل از مرحله اول لازم است اسید آمینه سیستئین موجود در جایگاه کاتالیتیک د-پروتونه شود تا آنیون تیولات سیستئین ایجاد شود همچنین یک اسید آمینه آسپارتیک که در لویی به نام WPD (Denu *et al.* 1996; Zhang *et al.* 1995).

مرحله اول، تشکیل کمپلکس فسفوآنزیم به واسطه حمله نوکلئوفیلیک آنیون تیولات سیستئین موجود در جایگاه کاتالیتیک به اتم فسفر سوبسترا می‌باشد که در پی آن سوبسترا د-فسفریله و به بیرون رانده می‌شود، برای رانده شدن موثر سوبسترا، اسید آسپارتیک پروتونه نقش مهمی را با احیا حلقه فنولی تیروزین سوبسترا بازی می‌کند.

مرحله دوم، حدواتر تیول-فسفات هیدرولیز و گروه فسفات آزاد می‌گردد و سیستئین احیا می‌شود، کلیه مراحل واکنش در شکل‌های ۱-۲ و ۳-۱ نشان داده شده‌است؛ (Stuckey *et al.* 1994; Jia *et al.* 1995).



شکل ۱-۲. فرآیند دو مرحله‌ای واکنش پروتئین تیروزین فسفاتازها



شکل ۱-۳. مکانیسم کاتالیتیک پروتئین تیروزین فسفاتازها. (الف) حمل نوکلئوفیلیک سیستئین به فسفر سوبسترا و احیا حلقه فنول تیروزین. (ب) هیدرولیز فسفو سیستئین. اتم‌ها بصورت اشکال کروی با رنگ‌های مختلف نشان داده شده‌اند: Ca و کربن‌های کربونیل، خاکستری؛ O، قرمز؛ N، آبی؛ P، سرخابی؛ S، سبز و H، نارنجی. تصاویر توسط نرم افزار 3D Raster و Molscript رسم شده‌است.

SHP-2 - ۲-۲-۱ در سیتوپلاسم

SHP-2 در اصل در سیتوپلاسم حضور دارد و در مسیرهای پیام‌رسانی سلولی که توسط فاکتورهای رشد، سیتوکین‌ها و هورمون‌ها آغاز می‌گردد، در جهت تنظیم، زنده نگهداشت، رشد و تمایز سلول دخالت دارد. SHP-2 همچنین در تعديل عملکرد مولکول‌های چسباننده سلولی، القا پیام‌رسانی، مهاجرت و تحرك سلولی نقش دارد.

این پروتئین در مسیرهای پیام‌رسانی^۱ NF-^۵, Rho, PI3k^۴-Akt, JAK^۳-STAT^۳, MAP-kinase^۶ و NFAT^۶ نقش مهمی را بازی می‌کند.

1- Mitogen-Activated Protein Kinase (MAPK).

2- Signal Transducer and Activator of Transcription (STAT).

3- The Janus Kinase (JAK).

4- The Phosphatidylinositol-3-Kinase (PI3K).

5- Nuclear Factor-KappaB (NF-κB).

6- Nuclear Factor of Activated T cells (NFAT).